

Localisation d'un porteur mobile de camera pour la sécurité en milieu urbain



Présenté par :
Zhuzhi FAN

Encadré par :
M. Emanuel ALDEA

Contexte et problématique



- Contexte

Porteur mobile

Foule dense

Sécurité

- Problématique

Estimation de la pose

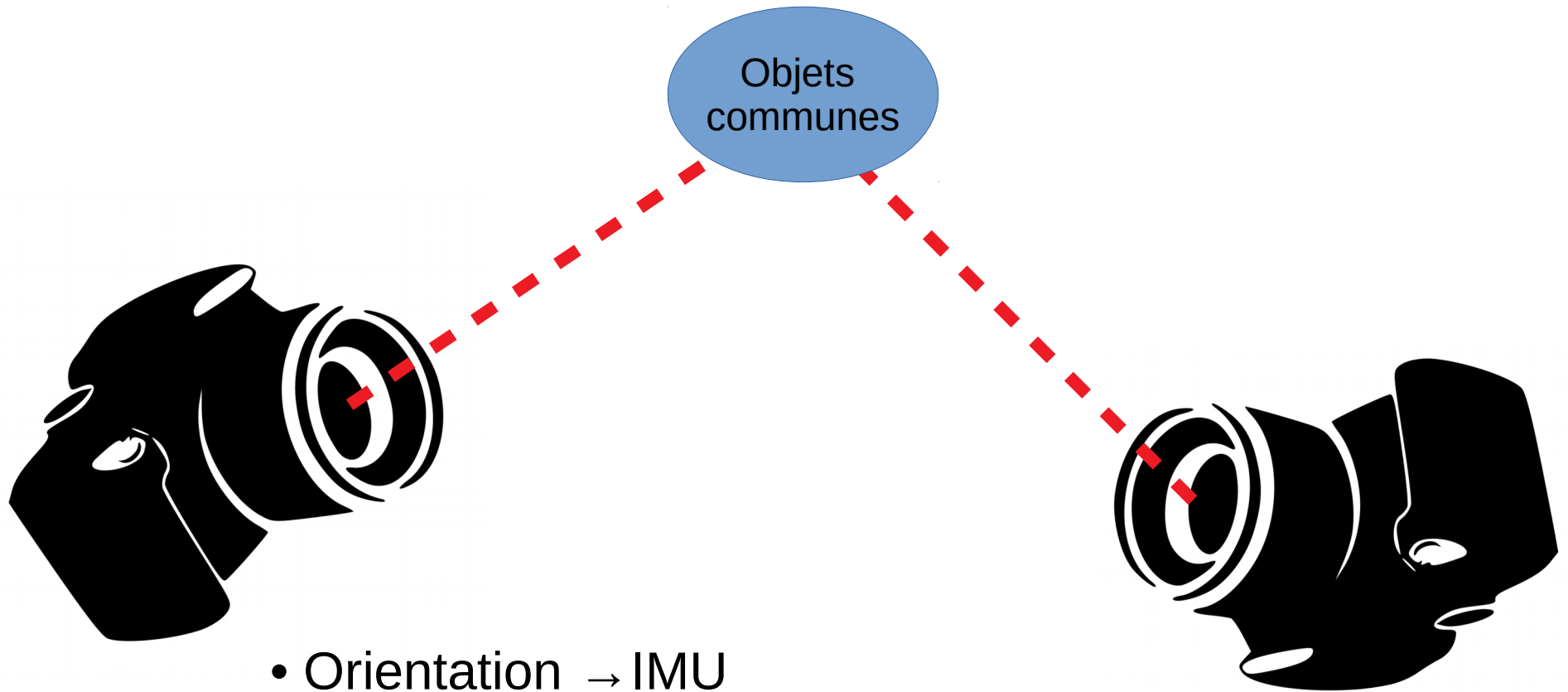
Synchronisation

Calibration

Localisation



Contexte et problématique



- Orientation → IMU
(Gyroscope, Accéléromètre, Magnétomètre)
- Position → GPS
- Horodatage → GPS

Estimation de la pose



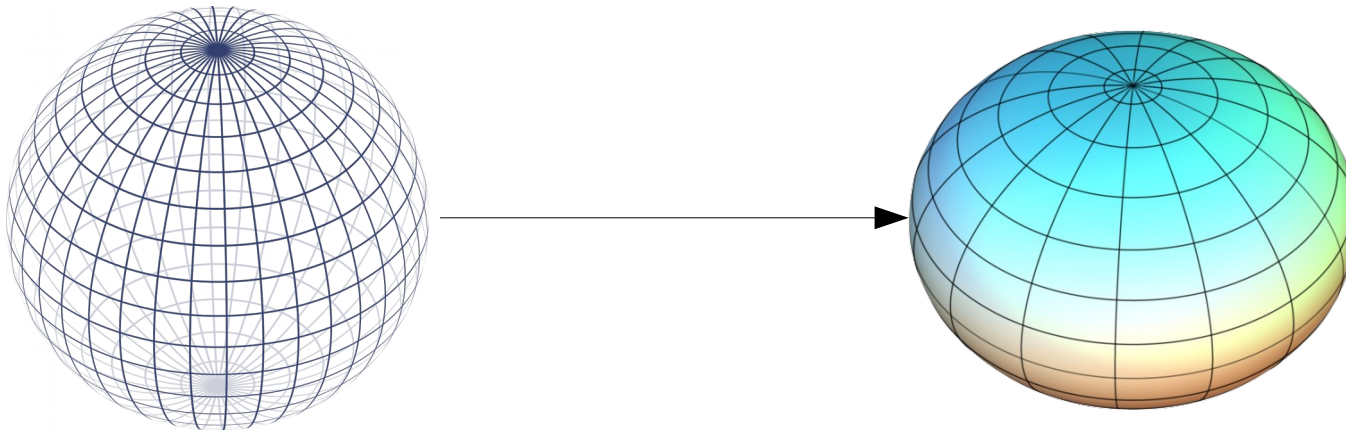
- Bias de Magnétomètre /Accéléromètre
- Algorithme de Madgwick



Bias de Magnétomètre /Accéléromètre



- Champ magnétique indépendant de la pose de magnétomètre(Valeurs se répartissent donc dans une sphère théoriquement)
- Présence de la distorsion dur et doux(Valeurs se répartissent dans un ellipsoïde pratiquement)



Bias de Magnétomètre /Accéléromètre



Équation d'ellipsoïde :

$$a_1 x^2 + a_2 y^2 + a_3 z^2 + a_4 xy + a_5 xz + a_6 yz + a_7 x + a_8 y + a_9 = 1$$

$$\begin{bmatrix} X^2 \\ Y^2 \\ Z^2 \\ XY \\ XZ \\ YZ \\ X \\ Y \\ Z \end{bmatrix}^T * \begin{bmatrix} a_1 \\ a_2 \\ a_3 \\ a_4 \\ a_5 \\ a_6 \\ a_7 \\ a_8 \\ a_9 \end{bmatrix} = I \longrightarrow X^T * A = I \longrightarrow A = (X * X^T)^{-1} * I$$
$$X \in R^{9*N}$$
$$A \in R^{9*1}$$
$$I \in R^{N*1}$$

N : nombre d' échantillonnage

Bias de Magnétomètre /Accéléromètre



Équation d'ellipsoïde :

$$a_1 x^2 + a_2 y^2 + a_3 z^2 + a_4 xy + a_5 xz + a_6 yz + a_7 x + a_8 y + a_9 = 1$$

$$\mathbf{M} \stackrel{\text{def}}{=} \begin{bmatrix} a_1 & \frac{a_4}{2} & \frac{a_5}{2} \\ \frac{a_4}{2} & a_2 & \frac{a_6}{2} \\ \frac{a_5}{2} & \frac{a_6}{2} & a_3 \end{bmatrix} \longrightarrow \mathbf{C} = -\frac{1}{2} [a_7 \ a_8 \ a_9] * \mathbf{M}^{-1}$$

Bias de Magnétomètre /Accéléromètre



Même cas pour l'accéléromètre, sauf que il doit rester stable pendant l'échantillonnage



Algorithme de Madgwick



$${}^S_E q_{est,t} = \alpha_1 * {}^S_E q_{\omega,t} + \alpha_2 * {}^S_E q_{\nabla,t}$$

${}^S_E q$: Quaternion présenté la pose de l'objet par rapport à l'objet stable orienté nord

$q_{\omega,t}$: Quaternion calculé en utilisant les valeurs du gyroscope

$q_{\nabla,t}$: Quaternion calculé en utilisant les valeurs de l'accéléromètre et du magnétomètre

$q_{est,t}$: Quaternion estimé en combinant les deux quaternions calculés

α_1, α_2 : Coefficient de pondération

$$\alpha_1 = 1 - \frac{\beta \Delta t}{\beta \Delta t + \mu_t}$$

$$\alpha_2 = 1 - \frac{\mu_t}{\beta \Delta t + \mu_t}$$

Algorithme de Madgwick



$$S_E q_{est,t} = \alpha_1 * S_E q_{\omega,t} + \alpha_2 * S_E q_{\nabla,t}$$

α_1, α_2 : Coefficient de pondération

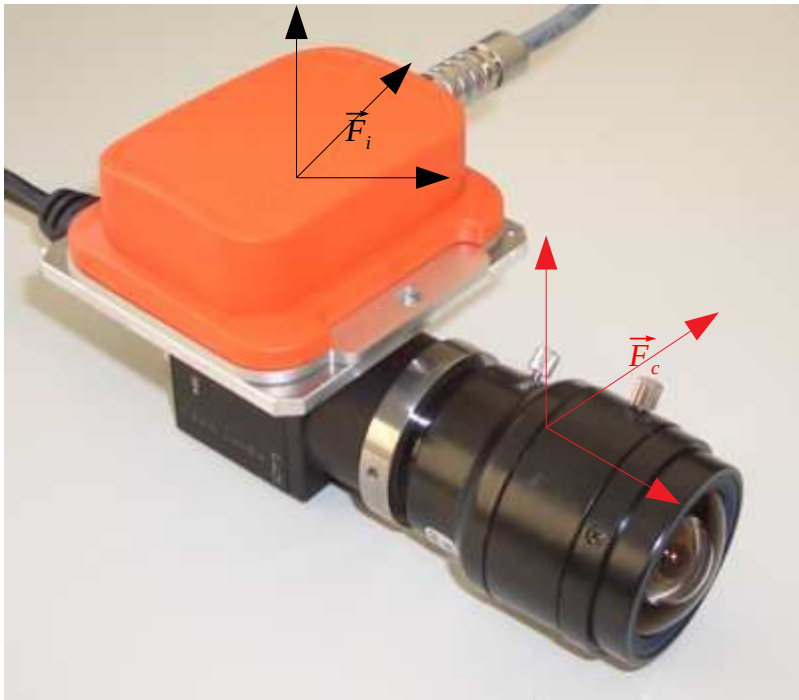
$$\alpha_1 = 1 - \frac{\beta \Delta t}{\beta \Delta t + \mu_t} \quad \alpha_2 = 1 - \frac{\mu_t}{\beta \Delta t + \mu_t}$$

β : Erreur du gyroscope chaque unité de temps (indiqué dans Datasheet de IMU)

Δt : Période d'échantillonnage

μ_t : Le Pas de l'algorithme du gradient lorsqu'on calcule le quaternion calculé en utilisant les valeurs de l'accéléromètre et du magnétomètre

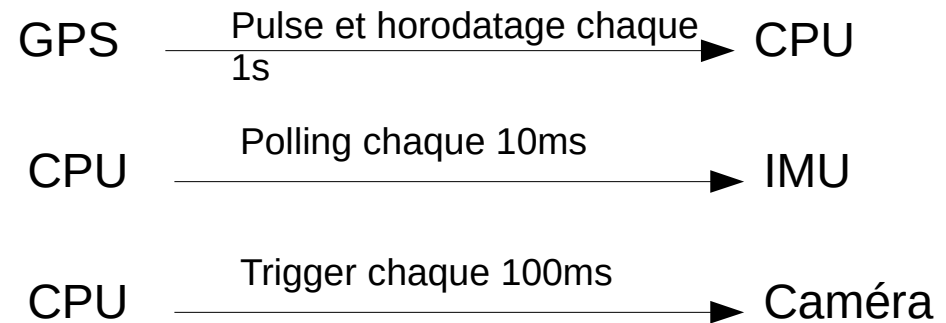
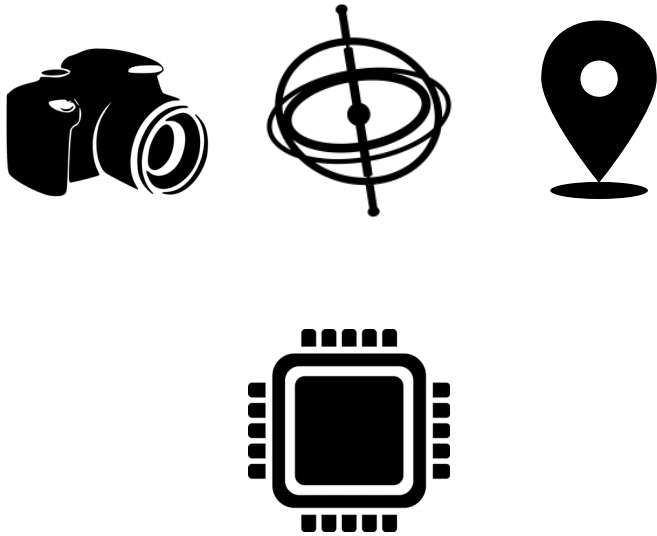
Estimation de la pose



La transformation spatiale existe
entre la coordonnée de IMU et celle
de caméra



Synchronisation



Le décalage temporel existe entre les mesures de différences différents capteurs

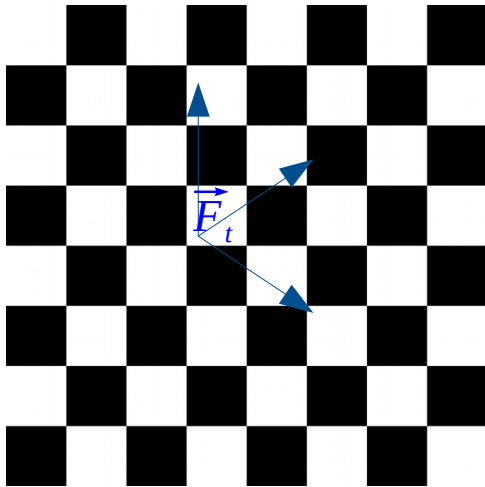
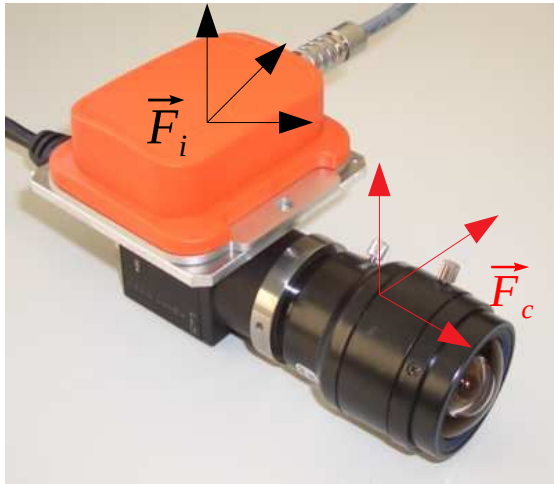
Calibration



Dans cette partie , nous allons estimer le décalage temporel entre les mesures de différents capteurs et leurs déplacements spatiaux par rapport à l'un et l'autre.



Calibration



Des quantités estimées :

Invariantes :

\mathbf{g}_t : La direction de la gravité

$\mathbf{T}_{c,i}$: La transformation entre la caméra et l'IMU

d : Le décalage entre l'heure de la caméra et l'heure de l'IMU

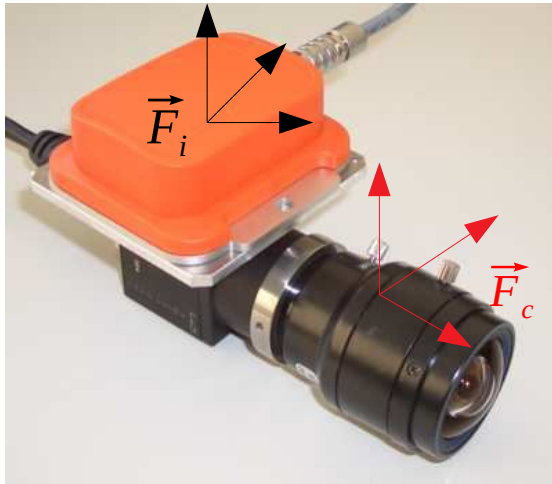
Variantes :

$\mathbf{T}_{t,i}(t)$: La pose de l'IMU

$\mathbf{b}_a(t)$: les biais de l'accéléromètre

$\mathbf{b}_\omega(t)$: les biais du gyroscope

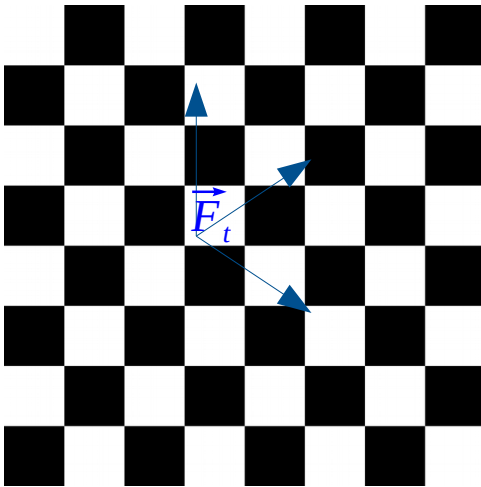
Calibration



Pour décrire les six valeurs variantes de la pose de l'IMU avec fonctions analytiques, le B-spline fonctions s'emploie :

$$\Phi(t) \stackrel{\text{def}}{=} [\Phi_1(t) \dots \Phi_B(t)] \quad \Phi_i(t) : \text{base fonction de B-spline}$$

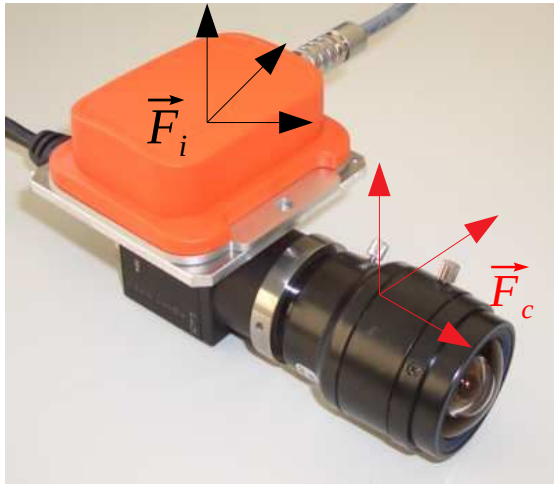
B : nombre de nœuds
 $\Phi \in \mathbb{R}^{6 \times B}$



$$\begin{bmatrix} \varphi_1 \\ \varphi_1 \\ \varphi_1 \\ t_1 \\ t_2 \\ t_3 \end{bmatrix} = \Phi(t) * c = [\Phi_\varphi(t) \quad \Phi_t(t)] * \begin{bmatrix} c_\varphi \\ c_t \end{bmatrix}$$

c : les paramètres à estimer
 $c \in \mathbb{R}^{B \times 1}$

Calibration

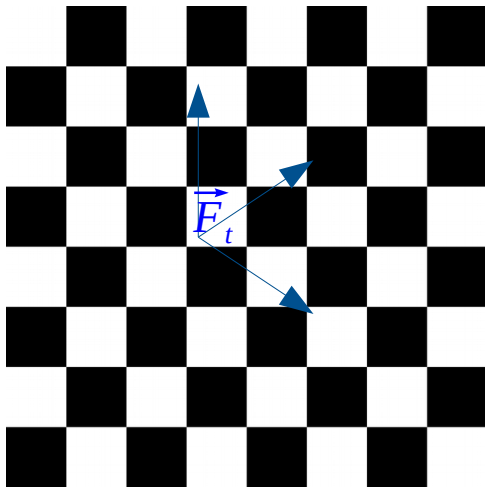


Avec les six variables présentées par B-spline fonctions, l'accélération et la vitesse angulaire peuvent être calculées (Dans le système de coordonnées géodésiques):

$$\begin{bmatrix} \varphi_1 \\ \varphi_1 \\ \varphi_1 \\ t_1 \\ t_2 \\ t_3 \end{bmatrix} = \Phi(t) * c = \begin{bmatrix} \Phi_\varphi(t) & \Phi_t(t) \end{bmatrix} * \begin{bmatrix} c_\varphi \\ c_t \end{bmatrix}$$

$$v(t) = \dot{t}(t) = \dot{\Phi}_t(t) c_t$$

$$a(t) = \ddot{t}(t) = \ddot{\Phi}_t(t) c_t$$



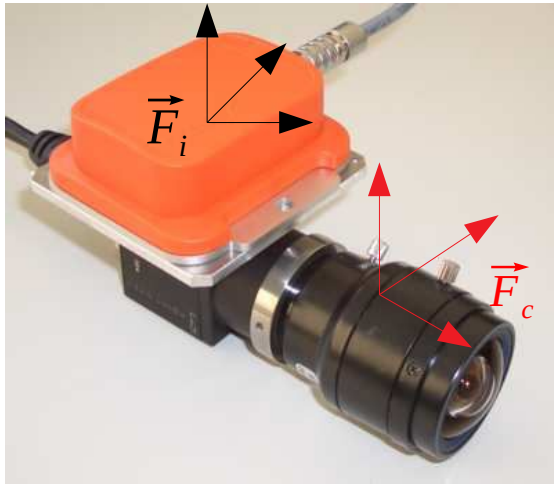
$$\omega(t) = S(\varphi(t)) \dot{\varphi}(t) = S(\Phi(t) c_\varphi) \dot{\Phi}(t) c_\varphi$$

$S()$ la matrice standard liant les paramètres angulaires à la vitesse angulaire

$$S(\varphi(t)) = \begin{bmatrix} 1 & 0 & -\sin(\varphi_2) \\ 0 & \cos(\varphi_1) & \sin(\varphi_1) \cos(\varphi_2) \\ 0 & -\sin(\varphi_1) & \cos(\varphi_1) \cos(\varphi_2) \end{bmatrix}$$

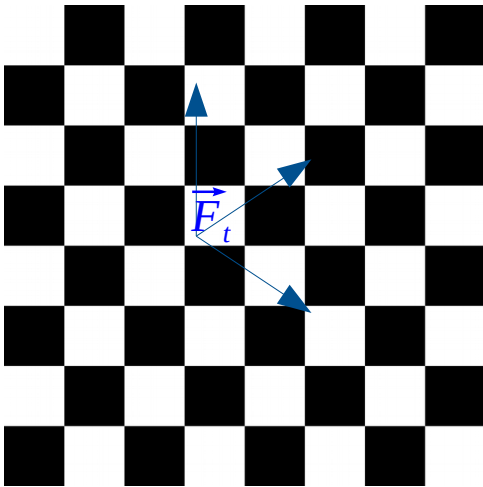
$$T_{c,i} \stackrel{\text{def}}{=} \begin{bmatrix} C(\varphi(t)) & t(t) \\ 0^T & 1 \end{bmatrix}$$

Calibration



$T_{t,i}$: La pose de l'IMU est en fonction de les six valeurs présentées par les fonctions B-spline

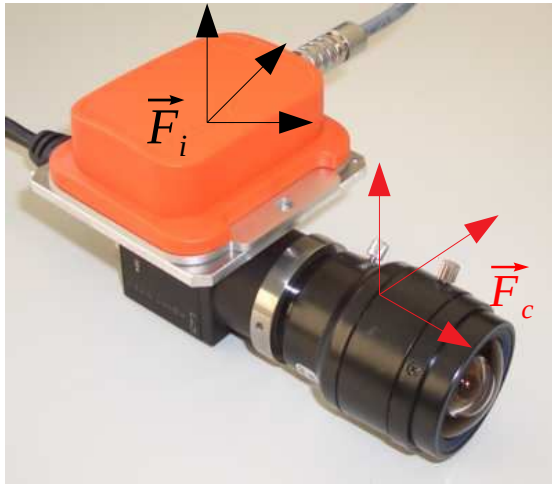
$$T_{t,i} \stackrel{\text{def}}{=} \begin{bmatrix} C(\varphi(t)) & t(t) \\ \mathbf{0}^T & 1 \end{bmatrix}$$



$$C(\varphi(t)) = \begin{bmatrix} c_2 c_3 & c_2 s_3 & -s_2 \\ s_1 s_2 c_3 - c_1 s_3 & s_1 s_2 s_3 + c_1 c_3 & s_1 c_2 \\ c_1 s_2 c_3 + s_1 s_3 & c_1 s_2 s_3 - s_1 c_3 & c_1 c_2 \end{bmatrix}$$

$$t(t) = \begin{bmatrix} t_1 \\ t_2 \\ t_3 \end{bmatrix}$$

Calibration



Avec la transformation entre la caméra et l' IMU , $T_{c,i}$
la vitesse angulaire , ω , l' accélération , α ,
et les positions des landmarks dans le checkerboard , p^m peuvent être prédit

$$\alpha_k \stackrel{\text{def}}{=} C(\varphi(t_k))^T (a(t_k) - g_t) + b_a(t_k) + n_{\alpha_k}$$

$$\omega_k \stackrel{\text{def}}{=} C(\varphi(t_k))^T \omega(t_k) + b_\omega(t_k) + n_{\omega_k}$$

$$y_{mk} \stackrel{\text{def}}{=} h(T_{c,i} T_{t,i}(t_k + d)^{(-1)} p_t^m) + n_{y_{mk}}$$

$b_a(t)$: les biais de l'accéléromètre

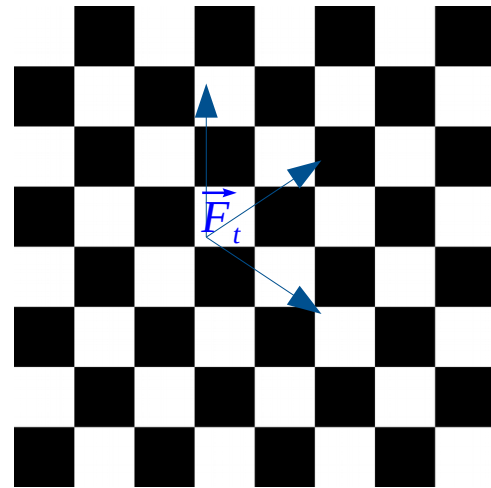
$b_\omega(t)$: les biais du gyroscope

h : modle de caméra nonlinear

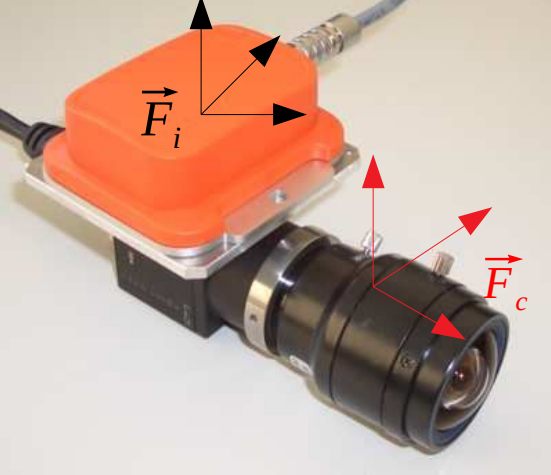
$n \sim N(0, R)$

$$\dot{b}_a \sim gp(0, Q_a \delta(t - t'))$$

$$\dot{b}_\omega \sim gp(0, Q_a \omega(t - t'))$$



$$T_{c,i} \stackrel{\text{def}}{=} \begin{bmatrix} C(\varphi(t)) & t(t) \\ 0^T & 1 \end{bmatrix}$$



Calibration



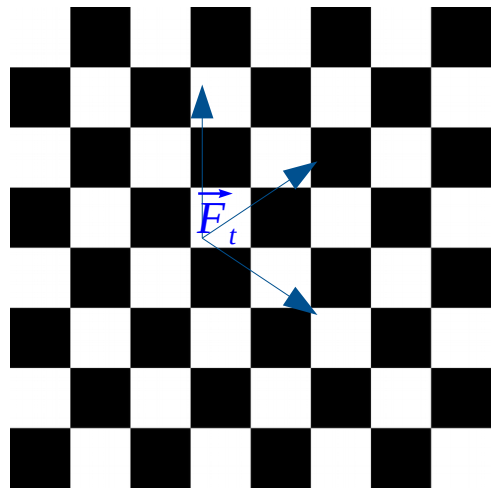
En comparant des valeurs mesurées et celles prédits, l'erreur correspondants sont définis :

$$\mathbf{e}_{\alpha_k} \stackrel{\text{def}}{=} \alpha_k - (\mathbf{C}(\boldsymbol{\varphi}(t_k))^T (\mathbf{a}(t_k) - \mathbf{g}_t) + \mathbf{b}_a(t_k))$$

$$\mathbf{e}_{\omega_k} \stackrel{\text{def}}{=} \boldsymbol{\omega}_k - (\mathbf{C}(\boldsymbol{\varphi}(t_k))^T \boldsymbol{\omega}(t_k) + \mathbf{b}_\omega(t_k))$$

$$\mathbf{e}_{y_{mk}} \stackrel{\text{def}}{=} y_{mk} - (\mathbf{h}(\mathbf{T}_{c,i} \mathbf{T}_{t,i}(t_k + d)^{(-1)} \mathbf{p}_t^m))$$

$$\mathbf{e}_{b_a} \stackrel{\text{def}}{=} \dot{\mathbf{b}}_a \quad \mathbf{e}_{b_{\text{oméga}}} \stackrel{\text{def}}{=} \dot{\mathbf{b}}_\omega$$



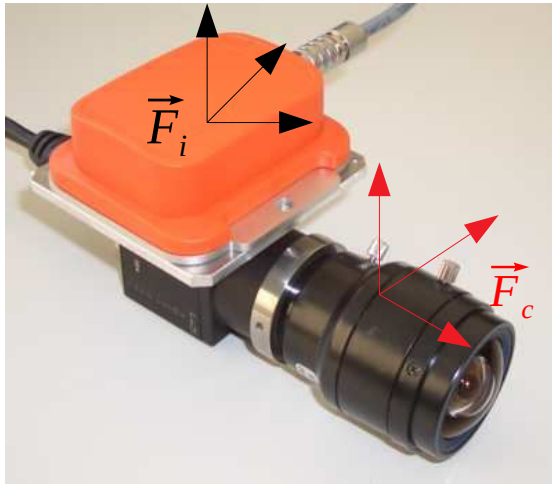
$$\alpha_k \stackrel{\text{def}}{=} \mathbf{C}(\boldsymbol{\varphi}(t_k))^T (\mathbf{a}(t_k) - \mathbf{g}_t) + \mathbf{b}_a(t_k) + \mathbf{n}_{\alpha_k}$$

$$\boldsymbol{\omega}_k \stackrel{\text{def}}{=} \mathbf{C}(\boldsymbol{\varphi}(t_k))^T \boldsymbol{\omega}(t_k) + \mathbf{b}_\omega(t_k) + \mathbf{n}_{\omega_k}$$

$$y_{mk} \stackrel{\text{def}}{=} \mathbf{h}(\mathbf{T}_{c,i} \mathbf{T}_{t,i}(t_k + d)^{(-1)} \mathbf{p}_t^m) + \mathbf{n}_{y_{mk}}$$



Calibration



Avec ces erreurs, on peut définir des intégrations des erreurs, qui seront utilisés pour définir la fonction de l'objet de chercher l'estimation du maximum de vraisemblance (Algorithme de Levenberg-Marquardt)

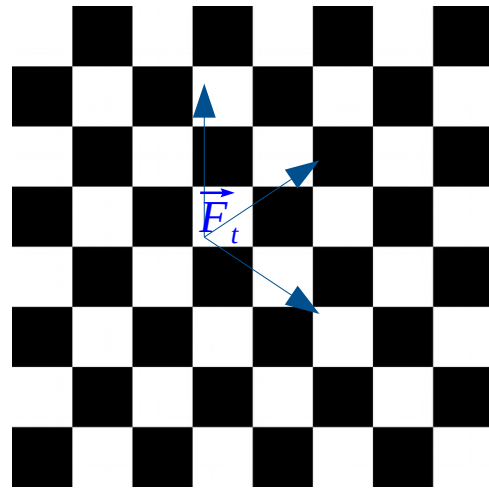
$$\mathbf{e}_{\alpha_k} \stackrel{\text{def}}{=} \alpha_k - (\mathbf{C}(\boldsymbol{\varphi}(t_k))^T (\mathbf{a}(t_k) - \mathbf{g}_t) + \mathbf{b}_a(t_k)) \quad \mathbf{J}_{\alpha} \stackrel{\text{def}}{=} \frac{1}{2} \sum_{k=1}^K \mathbf{e}_{\alpha_k}^T \mathbf{R}_{\alpha_k}^{-1} \mathbf{e}_{\alpha_k}$$

$$\mathbf{e}_{\omega_k} \stackrel{\text{def}}{=} \varpi_k - (\mathbf{C}(\boldsymbol{\varphi}(t_k))^T \boldsymbol{\omega}(t_k) + \mathbf{b}_{\omega}(t_k)) \quad \mathbf{J}_{\omega} \stackrel{\text{def}}{=} \frac{1}{2} \sum_{k=1}^K \mathbf{e}_{\omega_k}^T \mathbf{R}_{\omega_k}^{-1} \mathbf{e}_{\omega_k}$$

$$\mathbf{e}_{y_{mk}} \stackrel{\text{def}}{=} y_{mk} - (\mathbf{h}(\mathbf{T}_{c,i} \mathbf{T}_{t,i}(t_k + d)^{(-1)} \mathbf{p}_t^m)) \quad \mathbf{J}_y \stackrel{\text{def}}{=} \frac{1}{2} \sum_{k=1}^K \sum_{m=1}^M \mathbf{e}_{y_{mk}}^T \mathbf{R}_{y_{mk}}^{-1} \mathbf{e}_{y_{mk}}$$

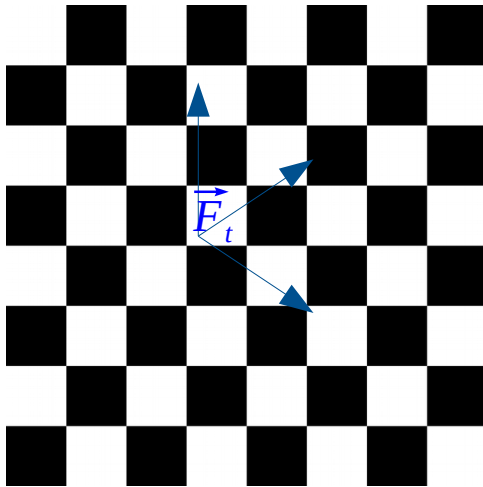
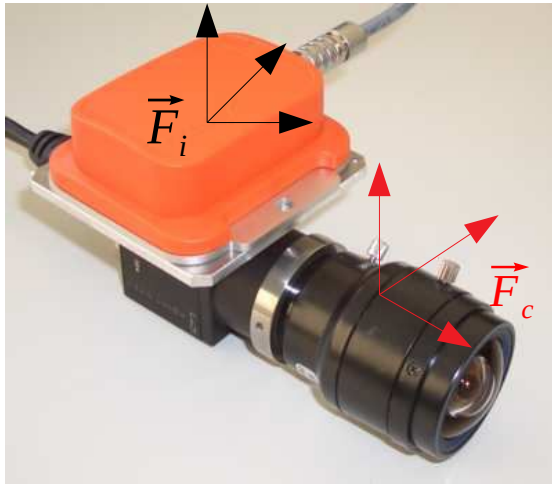
$$\mathbf{e}_{b_a} \stackrel{\text{def}}{=} \dot{\mathbf{b}}_a \quad \mathbf{J}_{b_a} \stackrel{\text{def}}{=} \int_{t_1}^{t_2} \mathbf{e}_{b_a}(\tau)^T \mathbf{R}_{\alpha_k}^{-1} \mathbf{e}_{b_a}(\tau) d\tau$$

$$\mathbf{e}_{b_{\omega}} \stackrel{\text{def}}{=} \dot{\mathbf{b}}_{\omega} \quad \mathbf{J}_{b_{\omega}} \stackrel{\text{def}}{=} \int_{t_1}^{t_2} \mathbf{e}_{b_{\omega\acute{e}ga}}(\tau)^T \mathbf{R}_{\alpha_k}^{-1} \mathbf{e}_{b_{\omega}}(\tau) d\tau$$



$$\mathbf{T}_{c,i} \stackrel{\text{def}}{=} \begin{bmatrix} \mathbf{C}(\boldsymbol{\varphi}(t)) & \mathbf{t}(t) \\ \mathbf{0}^T & 1 \end{bmatrix}$$

Calibration



$$J_{\alpha} \stackrel{\text{def}}{=} \frac{1}{2} \sum_{k=1}^K \mathbf{e}_{\alpha_k}^T \mathbf{R}_{\alpha_k}^{-1} \mathbf{e}_{\alpha_k}$$

$$J_{\omega} \stackrel{\text{def}}{=} \frac{1}{2} \sum_{k=1}^K \mathbf{e}_{\omega_k}^T \mathbf{R}_{\omega_k}^{-1} \mathbf{e}_{\omega_k}$$

$$J_y \stackrel{\text{def}}{=} \frac{1}{2} \sum_{k=1}^K \sum_{m=1}^M \mathbf{e}_{ymk}^T \mathbf{R}_{ymk}^{-1} \mathbf{e}_{ymk}$$

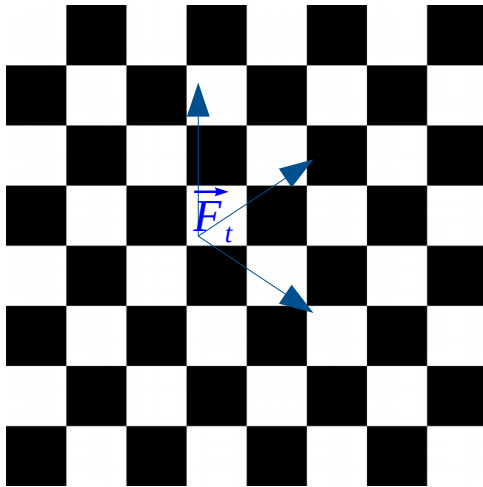
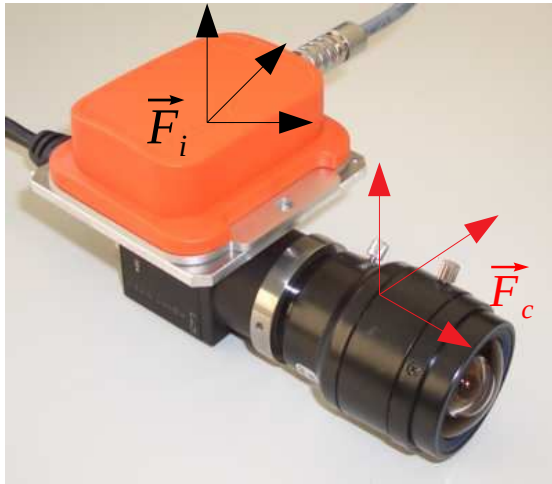
$$J_{b_a} \stackrel{\text{def}}{=} \int_{t_1}^{t_2} \mathbf{e}_{b_a}(\tau)^T \mathbf{R}_{\alpha_k}^{-1} \mathbf{e}_{b_a}(\tau) d\tau$$

$$J_{b_{\omega}} \stackrel{\text{def}}{=} \int_{t_1}^{t_2} \mathbf{e}_{b_{\omega\acute{o}m\acute{e}g\acute{a}}}(\tau)^T \mathbf{R}_{\alpha_k}^{-1} \mathbf{e}_{b_{\omega}}(\tau) d\tau$$

$$J \stackrel{\text{def}}{=} J_{\alpha} + J_{\omega} + J_y + J_{b_a} + J_{b_{\omega}}$$

l'algorithme de Levenberg-Marquardt s'emploie chercher l'estimation du maximum de vraisemblance avec le somme des 5 types d'erreur

Calibration



$$T_{c,i} \stackrel{\text{def}}{=} \begin{bmatrix} C(\varphi(t)) & t(t) \\ \mathbf{0}^T & 1 \end{bmatrix}$$

$$\mathbf{e}_{\alpha_k} \stackrel{\text{def}}{=} \alpha_k - (\mathbf{C}(\varphi(t_k))^T (\mathbf{a}(t_k) - \mathbf{g}_t) + \mathbf{b}_a(t_k))$$

$$\mathbf{e}_{\omega_k} \stackrel{\text{def}}{=} \varpi_k - (\mathbf{C}(\varphi(t_k))^T \omega(t_k) + \mathbf{b}_\omega(t_k))$$

$$\mathbf{e}_{y_{mk}} \stackrel{\text{def}}{=} y_{mk} - (\mathbf{h}(\mathbf{T}_{c,i} \mathbf{T}_{t,i} (t_k + d)^{(-1)} \mathbf{p}_t^m))$$

$$\mathbf{e}_{b_a} \stackrel{\text{def}}{=} \dot{\mathbf{b}}_a$$

$$\mathbf{e}_{b_\omega} \stackrel{\text{def}}{=} \dot{\mathbf{b}}_\omega$$

Cette étape de calibration ne fait que une fois pour obtenir la transformation spatiale entre la coordonnée de IMU et celle de caméra

Localisation



Après la plateforme est prête, nous passerons à la partie de localisation





Merci

